

I-354 層流および乱流における矩形断面柱のねじりフラッタ

九州大学応用力学研究所 正員 中村泰治

同 渡辺公彦

九州産業大学工学部 正員 吉村 健

1. まえがき

本研究の目的は、ねじりフラッタと例にヒリ、乱れのフラッタにおける影響を系統的に調べることにある。

2. 風洞と模型

使用した風洞の測定部断面は $W \times H = 4 \text{ m} \times 2 \text{ m}$ 。縮尺比 d/h と種々な方法で支持する矩形断面柱模型（回軸中心は断面中央）を用い、自由振動法により実験を行った。 $d/h = 0.3/ \sim 1.5/$ ($h = 20 \text{ cm}$)、および $3/ \sim 5/$ ($d = 40 \text{ cm}$)。振幅 $0.5^\circ \sim 1^\circ$ における空力係数 C_{M0I} を計測し、非定常空力モーメントの固有振動成分の値 $C_{M0I} \epsilon$ 、 $C_{M0I} = 8\pi\nu\beta/\pi^2$ により算出した。これに、 $\bar{V} = V/fh$ 、 $\nu = I/\rho h^4$ 。また、静止空気中の振動数は約 $f_0 = 2.5 \text{ Hz}$ または 4.5 Hz 。実験は層流（乱れの強さ $\pm 0.1\%$ ）および格子乱流（乱れの強さ $\pm 0.5\%$ または $7 \sim 8 \text{ cm}$ ）の下で行った。これらは主要な結果のみを記す。

3. 実験結果

3.1 層流

便宜上、最初に層流中のねじりフラッタを考察する。後述するうず励振を除き、風速範囲を窄く、低風速域のみにする。高風速域とは、高風速において C_{M0I} の符号のからむる風速範囲を指すことにし、それ以下を低風速域と差す。（例えは 図6 参照）高風速域のねじりフラッタは断面柱の再付着の関係である。ソフトフラッタは、 $d/h = 3/$ （断面角が丁度後縁に再付着）を中心とする d/h 、範囲で発生する。 $d/h = 3/$ 以下の振動は安定であるが、 $d/h = 1/ \sim 3/$ の範囲ではハード・フラッタの特性を持ち、振動は山振幅で減衰するものと大振幅で減衰するものとが混在する。 $d/h = 0.75/$ 以下では、afterbody から出る空力モーメントが小さく、したがって振動における空力的影響も認められない。一般に同様に低下すると C_{M0I} の符号が反る。その主原因は流れの乱れである。¹⁾ 低風速域では、低風速励振が狭い風速範囲で発生する。図8は、文献(2)によれば、低風速励振は C_{M0I} のピーク (C_{M0I} のピーク) と d/h の関係をプロットしたものである。図より明らかのように、低風速励振は力のマニピュレーションの振幅である。

うず励振の存在は、左と右は、振動の beat modulation によるものとができる。Beat modulation が烈しく、振動波形が $e^{i\omega t}$ より歪む、多くの場合、自由振動法より C_{M0I} を算出するとか困難である。本実験では $d/h = 3/$ 以下の場合は beat modulation が烈しく、 $d/h = 1/ \sim 3/$ では痕跡ほとんど認められないとされる。うず励振とねじりフラッタは現在では現象を模式的に表すには図9のようになる。左側に、ハード・フラッタが生じる $d/h = 1/ \sim 3/$ は、うず励振とねじりフラッタの干涉が強く、振動が発散が烈しく。後、議論にヒント重要なことは、うず励振が高風速域で発生してあることである。それゆえ、左と右は図3によらず、もううず励振がないのは、 C_{M0I} は負極性を示すよう変化している。

3.2 乱流

以上と前回にして、ねじりフラッタにおける乱れの影響を差すことはしない。振動実験に支えた、静止模型の定常空力分布の測定ならびに毛糸法による流れの観察を行った。左と右は $d/h = 3/$ では、層流と非再付着型であるが、乱流では再付着型となる。要するに、乱れは断面角の再付着を促進し、また、再付着はより生じる剥離ペルルの減少をもたらす。左と右は図1～7をみると、高風速域の乱れは層流にハード・フラッタと

ソフト化し(図2~4),ソフトフロッタを弱め(図5,6), \bar{V} には抑制する(図7).この傾向はモード(角形)の自由(フリッタ)によって説明されたものと全く同一である.その要因は、乱れによる剪断層運動作用の増大によるものである.一方、低風速域における乱れの影響は、高風速域のそれと異なり、低風速域で常に弱められる方向に働くことからある.その要因として、乱れによる剪断層の挙動が増大するからである.最後に、うず励振の発生する領域を考慮する.乱れはうず励振と弱め合う結果となる.これは $\%h = 3\%$ (乱れにより非再付着より再付着型に移行)とすれば明らかであるが、一般に、beat modulationが乱れにより著しく減少するところからも知れる.と共に $\%h = 1\% \sim 3\%$ を定める.既述のようにうず励振と重なるフリッタの混在するか、乱れによりうず励振が弱まる一方、ハードフロッタがソフト化するので、結果として、図2~4の如きの場合も、乱流中のソフトフロッタの発生をみることはになる.

4 結論

以上、ねじりフロッタにおける乱れの影響とみなが、事柄をキャロビンゲットしても同様であると考へるが、且下、そつ研究を進めてある.本実験は、羽根輪流体機械研究所所長、九産大大学院生石田良三郎君ほか、九産大学生、馬場聖一、遠東圭一、力丸俊郎ほか諸君の熱心な協力によって行われた.ここに記して謝意を表する.

文献

- 1) Y. Nakamura; On the aerodynamic mechanism of torsional flutter of bluff structures, J. Sound & Vibration, 67(2), 1979
 2) S. Komatsu & H. Kobayashi; Vortex-induced oscillations of bluff cylinders, J. Wind Engineering, 6, 1980
 3) Y. Nakamura & Y. Tomonari; Galloping of rectangular prisms in a smooth & in a turbulent flow, J. Sound & Vibration, 52(2), 1977

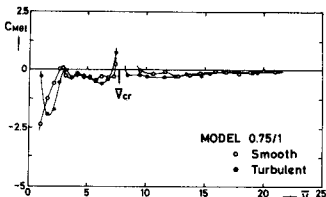


図 1

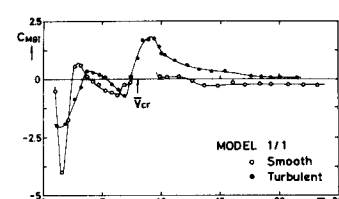


図 2

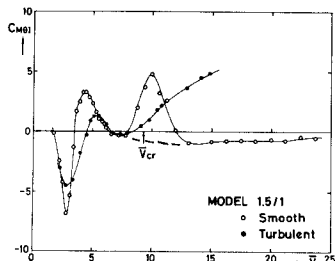


図 3

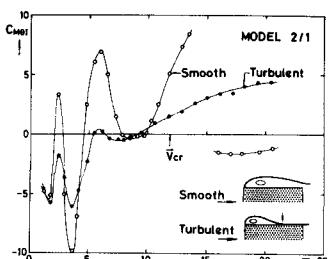


図 4

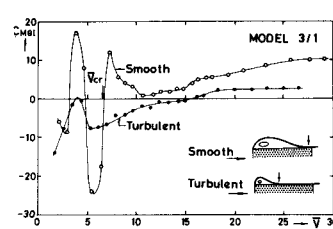


図 5

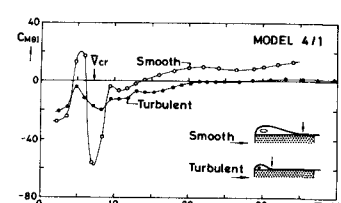


図 6

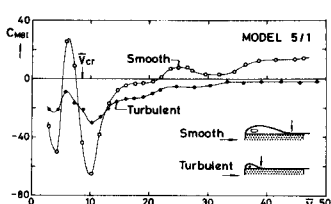


図 7

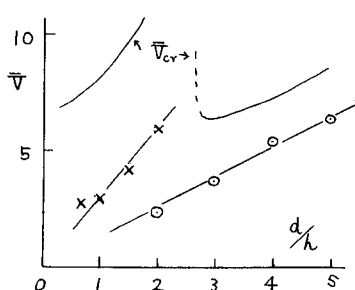


図 8

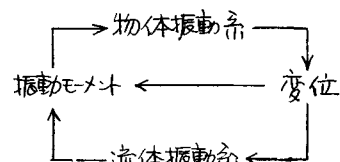


図 9